

고속전철용 견인 유도전동기의 회전자 슬롯수 변화에 따른 특성고찰

김병택^a, 곽승용^a, 권병일^a, 박승찬^b, 이기호^c, 김근웅^d, 윤종학^d

한양대학교 전기공학과^a, 한양대학교 공학기술연구소^b

대우중공업(주) 철차연구소^c

Characteristic Investigations of an Asynchronous Traction Motor for High Speed Train According to Various Rotor Slot Number

^aB. T. Kim^a, S.Y.Kwak^a, B. I. Kwon^a, S. C. Park^b, K. H. Lee^c, K. W. Kim^c, J. H. Yoon^c

Dept. of Elec., Graduate School of Hanyang Univ.^a, RIET^b

Daewoo Heavy Industry Ltd., Rolling Stock R&D Center^c

Abstract - This paper deals with investigating some characteristics of the inverter-driven tractive induction motor according to the various rotor slot number. 2-D time-stepped finite element method considering the inverter voltage waveform is utilized for electromagnetic field analysis. As a result, harmonics spectra of torque and bar loss are compared in each case.

최근 인버터를 이용한 제어특성을 고려할 때 기존의 슬롯수 결정법에 의한 특성예측은 많은 오차를 수반하게 된다. 따라서, 전동기 특성의 정확한 예측을 위해서는 수치 계산을 통한 해석이 필요하다.

본 논문에서는 고속전철용으로 설계된 1150 kW급 3상 농형 유도전동기를 대상으로, 고정자 슬롯수 60개를 기준으로 3가지의 회전자 슬롯수에 대하여 특성을 고찰하였다. 해석방법으로는 인버터 전압을 구동원으로 하는 시간 차분유한요소법을 이용하였다.

2. 해석방법 및 모델

2.1 해석모델

해석모델은 1150kW급으로 설계된 3상 농형유도전동기로서 형상 및 사양은 그림1과 표1에 나타내었다.

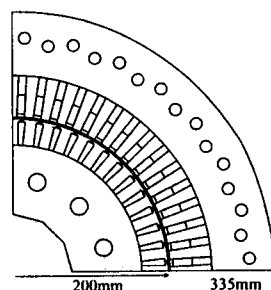


그림 1 해석모델

Fig. 1 Model for analysis

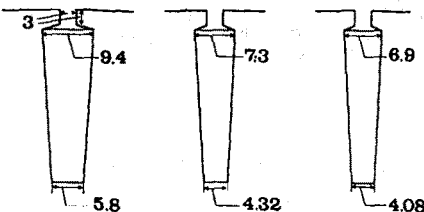
표 1. 해석모델의 사양

Table 1. Specifications of the model

| | | | |
|------|-------|-------------|---------------------------------------|
| 극수 | 4 | 고정자저항 | 0.0428Ω |
| 공극길이 | 2.2mm | 바 저항율(CuCr) | $2.16 \times 10^{-8} \Omega \text{m}$ |
| 적층길이 | 430mm | 회전자 bar 총면적 | 11,856mm ² |

2.2 회전자 슬롯수 및 형상결정

회전자 슬롯수의 선정은 고정자 슬롯수 60개를 기준으로 할 때, 기본설계한 회전자 슬롯수 52와 이와 동일한 차수의 전자력의 공간 고조파를 발생시킬 것으로 예상되는 68개 및 72개의 경우로 하였다. 각각의 경우에 대한 형상의 기준은 회전자 도체가 차지하는 총면적과 슬롯깊이를 동일하게 하도록 정하였으며, 그림 2와 같다.



a) 52개일 때 b) 68개일 때 c) 72개일 때

그림 2 회전자 슬롯 형상

Fig. 2 Shapes of rotor slot

2.3 해석방법

특성해석방법은 전압원을 구동원으로 하는 시간차분 유한요소법을 이용하였으며 3상 동형유도전동기의 2차 원해석시 지배방정식은 식(1)과 같다.

$$\frac{1}{\mu} \left(\frac{\partial^2 A}{\partial x^2} + \frac{\partial^2 A}{\partial y^2} \right) = -J_0 \quad (1)$$

$$+ \sigma \frac{\partial A}{\partial t} + \sigma \frac{U_b}{l_b}$$

여기서, U_b 와 l_b 는 해석영역 내부의 회전자 도체 양단에 걸리는 전압과 회전자 도체의 길이를 각각 나타낸다. 그리고 고정자의 각 상에 대하여 Kirchhoff의 전압법칙을 적용하면, 식(2)와 같은 고정자 회로방정식을 구할 수 있다.

$$\frac{d}{dt} (\psi) + (L_o) \frac{d}{dt} (I) + (R)(I) = (V) \quad (2)$$

또한 회전자 회로방정식은 자기 벡터포텐셜 A 와 U_b/l_b 의 항으로 회전자의 각각의 회로에 대해 연립하여 구해질 수 있다[2].

시간 차분 유한요소법을 이용할 때 식(1), (2)의 시간 미분식을 포함하는 벡터포텐셜과 전류는 후퇴차분법을 적용하였으며, 지배방정식과 고정자 및 회전자 회로방정식을 결합하면 식(3)와 같은 계방정식을 만들 수 있다.

$$\begin{bmatrix} [S] + \frac{[T]}{\Delta t} & [H] & -[C] \\ \frac{[G]}{\Delta t} & [Y] & [0] \\ -[C]^T & [0] & -\frac{[L_o] + \Delta t [R]}{h_{eff}} \end{bmatrix} \begin{bmatrix} [A] \\ [U_b] \\ [I] \end{bmatrix} = \begin{bmatrix} [V] \\ \frac{\Delta t}{h_{eff}} [V] \end{bmatrix} \quad (3)$$

$$= \begin{bmatrix} [S] + \frac{[T]}{\Delta t} & [H] & -[C] \\ \frac{[G]}{\Delta t} & [Y] & [0] \\ -[C]^T & [0] & -\frac{[L_o]}{h_{eff}} \end{bmatrix} \begin{bmatrix} [A] \\ [U_b] \\ [I] \end{bmatrix} + \begin{bmatrix} [G] \\ \frac{\Delta t}{h_{eff}} [V] \end{bmatrix} \quad (3)$$

제 방정식 (3)를 계산하면, 회전자 도체에 흐르는 전류를 구할 수 있으며, 토오크는 공극부분에서의 자속밀도로부터 Maxwell stress tensor method를 이용하여 계산하였다.

3. 해석 결과 비교

인버터구동 주파수 55Hz, 회전속도 1635 rpm일 때 그림 2에 나타낸 회전자 형상에 대하여 특성 해석을 하였으며, 차분간격은 매 주기당 200회로 해석하였다. 전동기 구동 전압은 square wave inverter에서 출력되는 전압이며, DC 링크단의 전압은 2800 V이다. 이 때의 토오크 파형은 그림3과 같다.

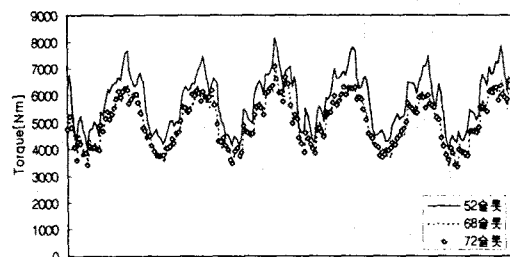
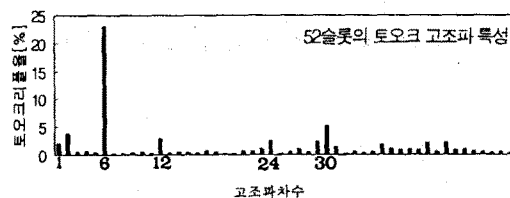


그림 3 토오크 리플
Fig. 3 Torque ripple

그림 3의 토오크 특성에서 슬롯수 52개의 경우보다 나머지의 경우가 평균토오크의 크기가 작아지는 것은 슬롯수의 증가에 따라 슬롯개방면이 많아짐으로써 유효공극길이가 길어지는 영향에 기인한 것으로 볼 수 있으며, 설계시 이에 대한 고려가 필요할 것임을 알 수 있다. 이와 같이 평균토오크의 크기가 상이하므로 토오크의 고조파 분석은 평균토오크대 고조파성분의 비로 나타내어 알 수 있으며, 그림 4에 나타내었다.



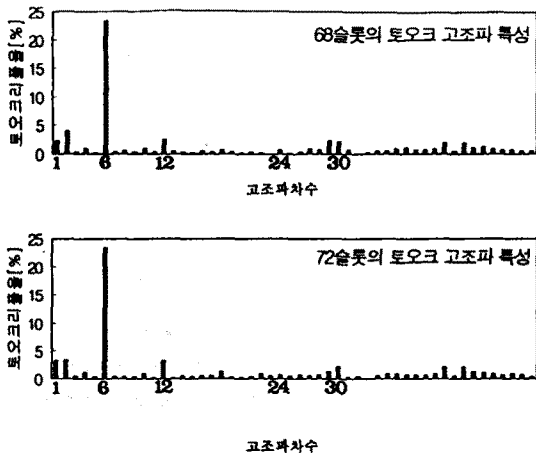


그림 4 토오크의 고조파분석
Fig. 4 Spectrum of torque

그림 4로부터 세가지의 경우 모두 square wave inverter 의 시간고조파로 인하여 6고조파 성분이 우세함을 알 수 있으나, 특히 24 및 30 고조파 성분의 경우 52개의 슬롯을 가진 경우가 68 및 72개의 경우보다 고조파 리플률이 큰 것을 볼 수 있다. 평균 토오크에 대한 26-35 고조파 성분 및 그 이외의 고조파 성분의 실효치비를 표 2에 나타내었다.

표 2. 고조파 토오크의 실효치 비교

Table 2. Comparison of harmonic torque

| | 평균토오크 | 26-35고조파 성분의 실효치 | 이외의 고조파 성분의 실효치 |
|------|-----------|------------------|-----------------|
| 52슬롯 | 5791 [Nm] | 4.3% | 17.2% |
| 68슬롯 | 5010 [Nm] | 2.5% | 17.2% |
| 72슬롯 | 5013 [Nm] | 2.1% | 17.3% |

또한 이때의 회전자 도체에 생기는 손실특성과 고조파 분석결과를 그림 5 및 그림 6에 나타내었다.

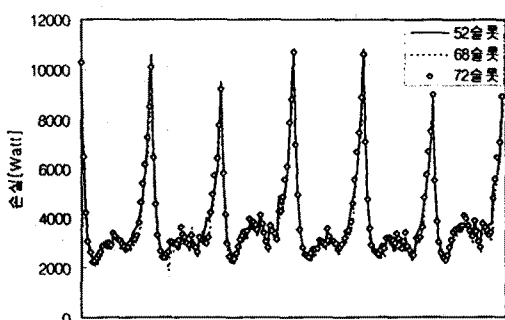


그림 5 회전자도체의 손실파형
Fig. 5 Rotor bar loss wave form

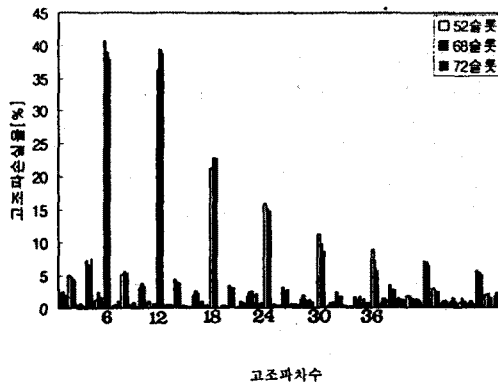


그림 6 평균 손실대비 고조파 손실특성
Fig. 6 Spectrum of rotor bar Loss

그림 5, 그림 6의 손실 특성으로부터 52개의 슬롯수인 경우 6고조파 손실분이 크게 나타나며, 고조파 토오크로 크게 나타나는 24-36 고조파 부근의 손실분도 커짐을 볼 수 있다. 평균손실에 대한 26-35 고조파 손실성분과 그외의 고조파손실분의 실효치를 비교하여 표3에 나타내었으며, 이는 토오크의 고조파 특성결과와 일치함을 알 수 있다.

표 3. 고조파손실분의 실효치비교
Table 3. Comparison of Harmonic loss

| | 평균손실 | 26-35고조파 성분의 실효치 | 이외의 고조파 성분의 실효치 |
|------|----------|------------------|-----------------|
| 52슬롯 | 3864 [W] | 8.6% | 44.9% |
| 68슬롯 | 3650 [W] | 7.5% | 45.6% |
| 72슬롯 | 3901 [W] | 6.8% | 44.6% |

4. 결 론

본 논문에서는 고속전철용 견인유도전동기의 회전자의 슬롯수 변화에 대한 전동기의 특성을 고찰하기 위하여, 60 개의 고정자 슬롯수에 관하여, 회전자 슬롯수가 52개, 68개 및 72개 일때의 토오크와 회전자 손실특성을 해석하였다. 해석결과로부터, 68개 및 72개의 회전자 슬롯의 경우는 52개의 슬롯수를 가지는 경우보다 평균 토오크가 감소하므로 회전자 슬롯 개방폭의 설계가 필요하며, 토오크 리플의 24차 및 30차 고조파 성분이 감소함을 알 수 있었다.

(참고 문헌)

- [1] 小林 孝司, "誘導電動機の電機設計と騒音", '96 モータ技術シンポジウム, 1996.
- [2] A. Arkkio, "Analysis of induction motors based on the numerical solution of the magnetic field and circuit equations", Helsinki 1987, Acta Polytechnica Scandinavica, Electrical Engineering Series No. 59